

|                     |   |
|---------------------|---|
| <b>Zeitschrift:</b> | Eclogae Geologicae Helvetiae  |
| <b>Herausgeber:</b> | Schweizerische Geologische Gesellschaft   |
| <b>Band:</b>        | 48 (1955)   |
| <b>Heft:</b>        | 2   |
| <br><b>Artikel:</b> | Zur Geologie der Oberen Meeresmolasse von St. Gallen                                    |
| <b>Autor:</b>       | Büchi, Ulrich P.  |
| <b>Kapitel:</b>     | Zusammenfassung der paläontologischen Resultate   |
| <b>DOI:</b>         | <a href="https://doi.org/10.5169/seals-161959">https://doi.org/10.5169/seals-161959</a> |

### Nutzungsbedingungen

Die ETH-Bibliothek ist die Anbieterin der digitalisierten Zeitschriften auf E-Periodica. Sie besitzt keine Urheberrechte an den Zeitschriften und ist nicht verantwortlich für deren Inhalte. Die Rechte liegen in der Regel bei den Herausgebern beziehungsweise den externen Rechteinhabern. Das Veröffentlichen von Bildern in Print- und Online-Publikationen sowie auf Social Media-Kanälen oder Webseiten ist nur mit vorheriger Genehmigung der Rechteinhaber erlaubt. [Mehr erfahren](#)

### Conditions d'utilisation

L'ETH Library est le fournisseur des revues numérisées. Elle ne détient aucun droit d'auteur sur les revues et n'est pas responsable de leur contenu. En règle générale, les droits sont détenus par les éditeurs ou les détenteurs de droits externes. La reproduction d'images dans des publications imprimées ou en ligne ainsi que sur des canaux de médias sociaux ou des sites web n'est autorisée qu'avec l'accord préalable des détenteurs des droits. [En savoir plus](#)

### Terms of use

The ETH Library is the provider of the digitised journals. It does not own any copyrights to the journals and is not responsible for their content. The rights usually lie with the publishers or the external rights holders. Publishing images in print and online publications, as well as on social media channels or websites, is only permitted with the prior consent of the rights holders. [Find out more](#)

**Download PDF:** 27.01.2026

**ETH-Bibliothek Zürich, E-Periodica, <https://www.e-periodica.ch>**

In der zweiten Phase fand eine Hebung des Meeresgrundes statt, besonders im Gebiete der Steinach und der Menzeln, in welchem Anzeichen einer Emersion festgestellt werden können. Es kam zur Ablagerung von roten Mergeln und Sandsteinen. Der darauf folgende Geröllschub stellt die eigentliche Hauptschüttungsphase der Oberen Grenznagelfluh dar (Mächtigkeit bis über 20 m). Es lassen sich zwei deutliche Schüttungszentren erkennen, eines im Gebiet der Bernegg mit SSW—NNE-, das andere an der Goldach mit SW—NE bis ENE-Schüttungsrichtung, d. h. je eines E und W der Schwellenzone von St. Georgen. Im Schüttungsschatten (toten Winkel) kam es nicht zur Ablagerung von Gerölle, und so finden wir im Gebiet von Goldbrunnen—Hagenbuch<sup>14)</sup> fossilführende Schiefermergel und Plattensandsteine anstehend. W der Schwellenzone besitzt die Nagelfluh fluviatilen Schüttungscharakter (Kegelwülste an der Basis, lokal rötliches Bindemittel, Fehlen jeglicher Verkeilungen mit dem Liegenden). Im E sich daran anschliessenden Raume können Verkeilungen mit den liegenden Plattensandsteinen beobachtet werden, und zudem führt die Nagelfluh in ihrem unteren Teil marine Fossilien (Steinbruch bei Hof Tablat an der Strasse St. Gallen—Rehetobel).

Mit der Schüttung der Oberen Grenznagelfluh zog sich das Meer endgültig aus dem Untersuchungsgebiet zurück, und schon die unmittelbar über der Nagelfluh liegenden gelb-grau-gefleckten Mergelserien besitzen den typischen tortonen fluvioterrestrischen Habitus und führen zudem an der Sitter eine tortone Schneckenfauna.

### Zusammenfassung der paläogeographischen Resultate

Im Untersuchungsgebiet lassen sich zwei Senkungsfelder erkennen, eine Hauptsenkungszone im Rheintal-Bodensee-Gebiet und ein sekundäres Senkungsfeld im Sitter-Urnäsch-Raum. Die Anlage der Rheintal-Bodensee-Senke besitzt vorburdigales, eventuell voraquitanes Alter, da sich in den aquitanen Schichten der Gibriszone eine deutliche Mächtigkeitszunahme von W gegen E feststellen lässt. Betrachtet man das Längsprofil (Fig. 6) zur Zeit des Helvétien, so ergibt sich aus den Schichtmächtigkeiten folgendes Bild, von W nach E:

1. Rasches Absinken der Terrainoberfläche bis zum tiefsten Punkt der Senkungszone an der Sitter.
2. Langsamer Anstieg von der Sitter gegen die Schwellenzone von St. Georgen.
3. Starkes Absinken auf relativ kurzer Distanz (Klifflinie).
4. Schwach geneigter bis horizontaler Untergrund bis zum Rheintal.

Es ist zu vermuten, dass die Zonen mit starker Terrainneigung Bruchsystemen in der Tiefe entsprechen, deren Anlage mindestens vorburdigales Alter besitzen. Brüche vomiozänen Alters wurden ebenfalls im bayerischen Molasseraum durch seismische Untersuchungen und Bohrungen festgestellt (H. HEERMANN 1954). Das Bild, wie es sich uns in der Ablagerung der Oberen Meeresmolasse zeigt, spricht für eine gegen E absinkende antithetische Bruchschollentreppe in der Tiefe (siehe Fig. 1 und 6).

Entsprechend den beiden Senkungsfeldern finden wir die Mündungsgebiete seit dem untersten Burdigalien im Raume der Sitter—Urnäsch und an der Goldach.

<sup>14)</sup> Gefasste Quelle im Hagenbuchquartier.

Das Durchziehen der Geröllhorizonte innerhalb der marinen Ablagerungen über viele Kilometer lassen auf eine W—E gerichtete Strömung schliessen. Auch die Bildung der Seelaffen steht mit diesen in direktem Zusammenhang.

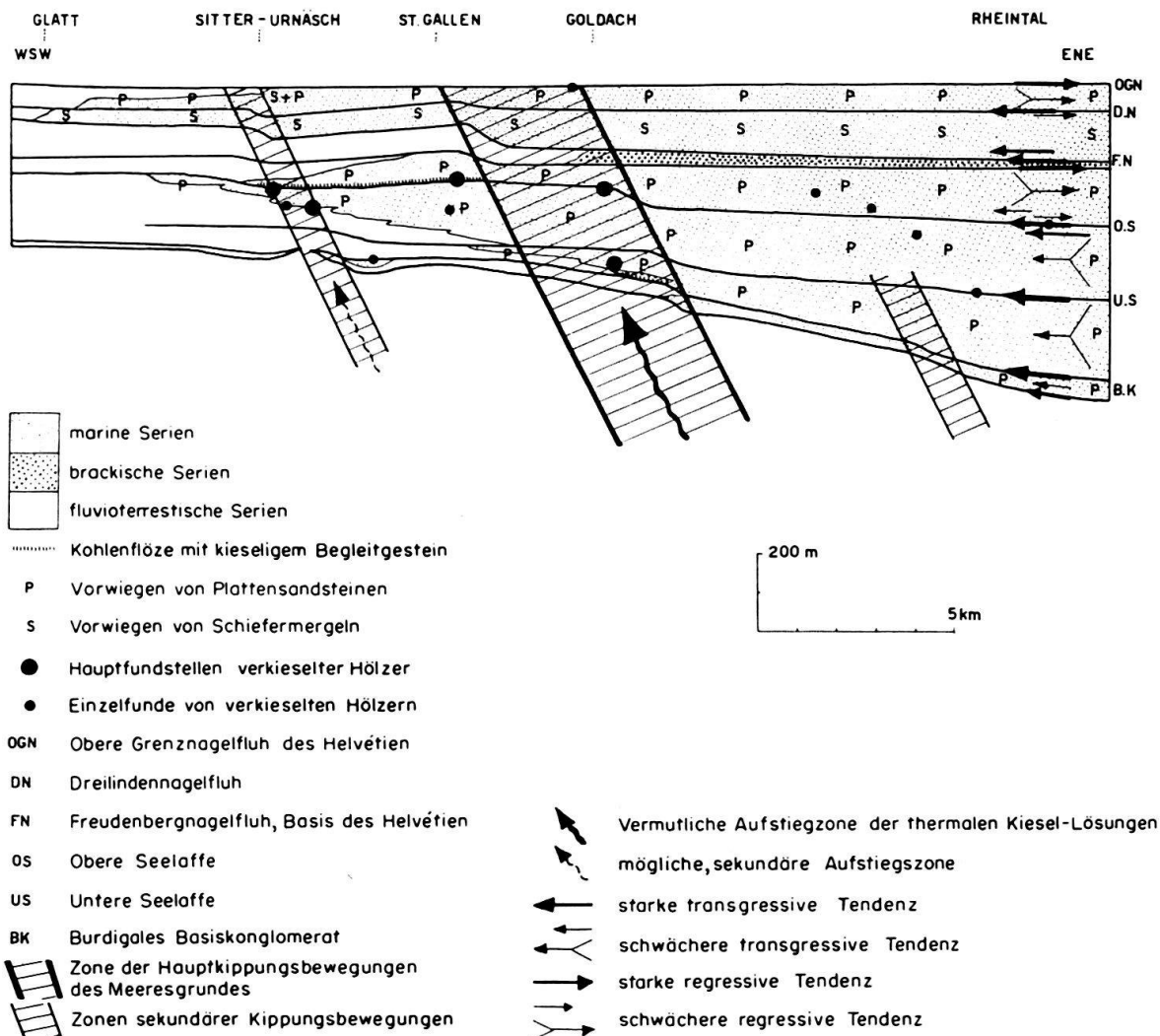


Fig. 6. Schematisches Längsprofil durch die Obere Meeresholasse am E-Rand des Hörnliischutt-fächers.

Aus der Gegenüberstellung der einzelnen Schichtmächtigkeiten und deren Schwankung zwischen den Leithorizonten lässt sich die relative Senkung der einzelnen Zonen ermitteln. In Tabelle 14 wurde jeweils die geringste Mächtigkeit zwischen zwei Leithorizonten auf den Nenner 1 gebracht und die andern Werte entsprechend ins Verhältnis gesetzt.

Versuchen wir diese Zahlen auszuwerten bei Annahme, dass die Mächtigkeitsunterschiede mehr oder weniger proportional zur individuellen Senkung der einzelnen Zonen stehen, gelangen wir zu folgenden Schlüssen:

Das Senkungsfeld im Rheintal-Raum bestand bereits zur Zeit der Schüttung des burdigalen Basiskonglomerates und vertiefte sich noch wesentlich während der Ablagerung der untersten Plattensandsteine. Die Kippungsachse lag im

Gebiet E der Goldach. Später, in der Zeit der Sedimentation der Unteren Platten-sandsteine, verschob sich dieselbe in Richtung gegen die Goldach, um an der Wende zu den mittleren Plattensandsteinen im Gebiet der Goldach selbst zu liegen. Gleichzeitig machte sich auch W der Goldach das sekundäre Senkungsfeld stärker geltend, das zur Anlage einer mehr als 5 km breiten Bucht Anlass gab. Beim Zuendegehen der Ablagerung der mittleren Plattensandsteine war die durch die Senkungen erfolgte Terraingliederung durch Auffüllung der Buchten mehr oder weniger nivelliert, woraus sich die relative Konstanz in der Mächtigkeit des Zwischenkomplexes ergab, wenn man von der geringeren Mächtigkeit im E absieht, die auf Erosion zur Zeit der Helvétien-Transgression zurückzuführen ist.

Tabelle 14

| m = Mächtigkeit in Metern<br>r = reduzierte Verhältniswerte | Sitter-Urnäsch |      | St. Georgen |      | Goldach |      | Rheintal |      |
|---|----------------|------|-------------|------|---------|------|----------|------|
|   | m              | r    | m           | r    | m       | r    | m        | r    |
| Oberes Helvétien . . . . .                                  | 84             | 1.72 | 49          | 1.00 | 72      | 1.47 | 64       | 1.31 |
| Unteres Helvétien . . . . .                                 | 46             | 1.15 | 40          | 1.00 | 93      | 2.32 | 130      | 3.25 |
| Burdigaler Zwischenkomplex . . . . .                        | 36             | 1.13 | 35          | 1.10 | 41      | 1.28 | 32       | 1.00 |
| Mittlere Plattensandsteine .                                | 92             | 1.54 | 94          | 1.57 | 60      | 1.00 | 134      | 2.24 |
| Untere Plattensandsteine .                                  | 104            | 1.00 | 132         | 1.27 | 154     | 1.48 | 184      | 1.77 |
| Unterste Plattensandsteine .                                | 30             | 1.00 | 36          | 1.20 | 46      | 1.53 | 199      | 6.63 |
| Basiskonglomerat und Basissandstein . . . . .               | 40             | 1.82 | 22          | 1.00 | 34      | 1.55 | 47       | 2.14 |
| Total Helvétien . . . . .                                   | 130            | 1.46 | 89          | 1.00 | 165     | 1.85 | 194      | 2.18 |
| Total Burdigalien . . . . .                                 | 302            | 1.00 | 319         | 1.06 | 335     | 1.11 | 596      | 1.97 |
| Total Obere Meeresmolasse                                   | 432            | 1.04 | 408         | 1.00 | 500     | 1.23 | 790      | 1.94 |

Im unteren Helvétien macht sich eine neue starke Senkungstendenz geltend, wobei die Kippungsachse eindeutig W der Goldach zu liegen kommt. Auch das sekundäre Senkungsfeld im Sitterquerschnitt tritt besonders im Oberen Helvétien wieder in Erscheinung.

Die kontinuierliche Verlagerung der Hauptkippungsachse von E nach W vom Unteren Burdigalien bis zum Oberen Helvétien lässt auf eine E-Neigung der Störungszone in der Tiefe schliessen. Betrachtet man die Gesamtwerte des Helvétien und des Burdigalien, so lässt sich deutlich erkennen, dass die Senkungsbeträge im Helvétien bedeutend grösser waren als im Burdigalien, obwohl einzelne Stufen des Burdigalien die höchsten Werte überhaupt zeigen.

### Zur Frage der Verkieselungerscheinungen (siehe Fig. 1 und 5)

Das Vorkommen verkieselter Hölzer und Kohlenflöze mit kohlig-kieseligen Schichten beschränkt sich mit einer einzigen Ausnahme auf das unter dem Zwischenkomplex liegende Burdigalien. Anhäufungen verkieselter Baumstämme sind